

Раздел I. Математическое моделирование

А.А. Белолипецкий, Е.А. Малинина, К.О. Семёнов

МАТЕМАТИЧЕСКАЯ МОДЕЛЬ ДЕГРАДАЦИИ ТОПЛИВНОГО СЛОЯ ПРИ НАГРЕВАНИИ ЛАЗЕРНОЙ МИШЕНИ ТЕПЛОВЫМ ИЗЛУЧЕНИЕМ В РАБОЧЕЙ КАМЕРЕ РЕАКТОРА

Введение

В этой статье авторы продолжают исследование вопросов, связанных с разрушением топливного слоя в лазерных мишенях при доставке их в зону горения термоядерного реактора. Впервые этот вопрос был поставлен в работах [1-3]. В статье [1] была изучена модель разрушения слоя вследствие того, что мишень в рабочей камере реактора при ее доставке в зону горения некоторое время находится в разреженном «горячем» остаточном газе. В работах [2,3] было дано краткое описание модели деградации мишени из-за воздействия на нее теплового электромагнитного излучения (ЭМИ), испускаемого горячими стенками рабочей камеры реактора. В данной статье приводится подробное изложение этой модели и полученных на ее основе решений.

Лазерная мишень (ЛМ) – это многослойная полистироловая сферическая оболочка, на внутренней стенке которой выморожены

твердые изотопы водорода (дейтерий, тритий или их смеси). В идеале (рис.1) эта начинка из ядерного топлива должна представлять собой шаровой слой. На практике, конечно, этого добиться не возможно, но и геометрически идеальная ЛМ при доставке ее в зону горения реактора подвергается, например, тепловому воздействию, которое частично разрушает топливный слой.

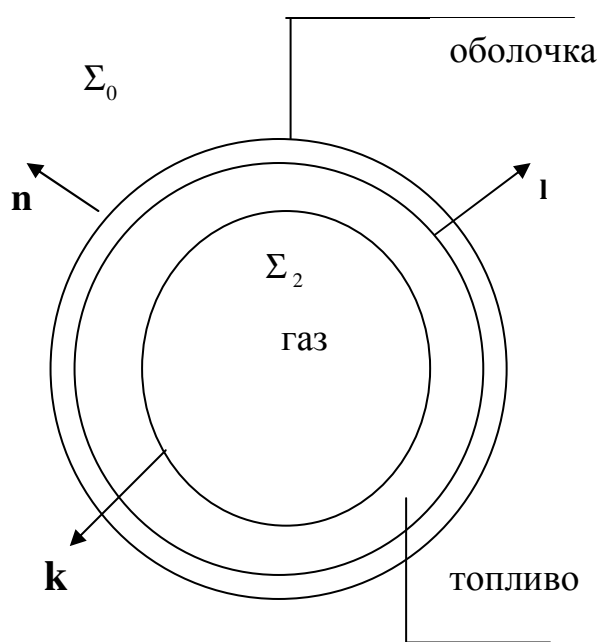


Рис. 1.

некоторое время находится в рабочей камере реактора, горячие стенки которого излучают электромагнитные волны, нагревающие мишень и частично испаряющие топливный слой, в силу чего его геометрические свойства изменяются. Задача состоит в том, чтобы оценить критическое время нарастания предельного значения разнотолщинности этого слоя. Сложность состоит в том, что в твердом топливе присутствуют кристаллические зоны, коэффициент теплопроводности которых является векторной величиной. Кроме того, само ЭМИ не является сферически симметричным. Из-за этого задача нагрева и сублимации слоя так же становится сферически несимметричной. Как и в работе [1], математическая модель представляет собой задачу Стефана для сингулярно возмущенного уравнения теплопроводности с нелинейными краевыми и начальными условиями. Решение задачи ищется в виде асимптотического ряда по степеням малого параметра. Таким параметром является отношение толщины слоя к радиусу ЛМ.

Предполагается, что дейтерий-тритиевый топливный слой находится в кристаллическом состоянии, причем главные оси кристалла в разных точках ориентированы по-разному, в силу чего скорость распространения звука, а с нею и коэффициент теплопроводности является векторной величиной.

1. Математическая модель деградации

Пусть T_{sh}, T_s, T_g функции времени t и сферических координат r, θ, φ , которые описывают температуру точек оболочки, топливного слоя (или криослоя) и газа соответственно. Очевидны начальные и граничные условия

$$T_{sh} = T_s = T_g = T_i \text{ при } t = 0. \quad (1)$$

Здесь T_i – начальная температура мишени.

На внешней границе Σ_0

$$\frac{\partial T_{sh}}{\partial r} = 0. \quad (2)$$

Границу, разделяющую топливный слой и оболочку, обозначим Σ_1 .

На сфере Σ_1

$$T_{sh} = T_s, \quad (3)$$

$$\langle k_{sh} \text{ grad } T_{sh}, \mathbf{l} \rangle = \langle k_s \text{ grad } T_s, \mathbf{l} \rangle. \quad (4)$$

Условие (2) означает отсутствие потока тепла через поверхность Σ_0 , а (3), (4) выражают равенство температур и тепловых потоков в точках поверхности Σ_1 . Здесь k_{sh}, k_s – коэффициенты теплопроводности

материала оболочки и топливного слоя, \mathbf{n}, \mathbf{l} – единичные векторы внешней нормали в точках поверхностей Σ_0 и Σ_1 .

Процесс теплопереноса в оболочке описывается уравнением теплопроводности

$$\rho_{sh} c_{sh} \frac{\partial T_{sh}}{\partial t} = \text{div}(k_{sh} \text{grad } T_{sh}) + \alpha_{sh} J_0 \cdot (1 + \zeta(\varphi, \theta)), \quad (5)$$

где ρ_{sh}, c_{sh} – плотность и теплоемкость материала оболочки. Величина J определяет поток электромагнитного излучения (ЭМИ), испускаемый горячей стенкой рабочей камеры, представляющей собой сферу. Задача облучения в общем случае сферически несимметрична, что и учитывается поправочным коэффициентом $\zeta(\theta, \varphi)$. Для величины потока можно, например, использовать закон Стефана-Больцмана

$$J_0 = \sigma T_0^4, \quad (6)$$

где $\sigma = 5,729 \cdot 10^{-12} \frac{\text{Вт}}{\text{см}^2 \text{К}^4}$ – постоянная Стефана-Больцмана, а T_0 – температура внутренней стенки рабочей камеры. Множитель α_{sh} – это коэффициент поглощения ЭМИ на единице длины проникновения излучения в среду. Определить его можно следующим образом (см.[4]). Предположим, что спектр ЭМИ лежит в пределах длин волн (λ_1, λ_2) . Примем поток энергии этого излучения за 1. Пусть доля потока энергии, заключённая в спектре $(\lambda, \lambda + d\lambda)$, равна $f(\lambda)d\lambda$. Если $\alpha(\lambda)$ доля потока энергии $f(\lambda)d\lambda$, поглощаемая средой на глубине проникновения в 1 см, то вся поглощаемая энергия при прохождении 1 см среды равна $\alpha = \int_{\lambda_1}^{\lambda_2} \alpha(\lambda) f(\lambda) d\lambda$.

Здесь и далее r_0, r_1 – внешний и внутренний радиусы оболочки соответственно, $w_{sh} = r_0 - r_1$ – толщина оболочки.

В топливном слое тепловой поток в сферических координатах r, θ, φ задается вектором $\mathbf{j}_s = -\left(k_1 \frac{\partial T_s}{\partial r}, k_2 \frac{\partial T_s}{r \partial \theta}, k_3 \frac{\partial T_s}{r \sin \theta \partial \varphi}\right)$, где $T_s(r, \theta, \varphi, t)$ – температура в криогенном слое в момент времени t . Коэффициенты теплопроводности $k_i(r, \theta, \varphi), i=1,2,3$, вообще говоря, зависят от координат. Далее зависимость этих коэффициентов от r будем считать несущественной, поэтому

$$k_i(\theta, \varphi) = k_s \cdot (1 + \xi_i(\theta, \varphi)), i=1,2,3. \quad (7)$$

Динамика температуры внутри топливного слоя в силу отсутствия сферической симметрии имеет вид

$$\begin{aligned} \rho_s c_s \frac{\partial T_s}{\partial t} = & \alpha_s J_0 \cdot (1 + \zeta(\theta, \varphi)) + \frac{1}{r^2} \frac{\partial}{\partial r} \left(k_1(\theta, \varphi) r^2 \frac{\partial T_s}{\partial r} \right) + \\ & + \frac{1}{r^2 \sin \theta} \frac{\partial}{\partial \theta} \left(k_2(\theta, \varphi) \sin \theta \frac{\partial T_s}{\partial \theta} \right) + \\ & + \frac{1}{r^2 \sin^2 \theta} \frac{\partial}{\partial \varphi} \left(k_3(\theta, \varphi) \frac{\partial T_s}{\partial \varphi} \right) \end{aligned} \quad (8)$$

Вообще говоря, с учетом поглощения излучения оболочкой и топливным слоем величина потока, проникающего на глубину $w_{sh} + r_1 - r$ от внешней границы оболочки равна

$$J_s = J_0 e^{-\alpha_{sh} w_{sh} - \alpha_s (r_1 - r)}, \quad (9)$$

но в силу малости показателя экспоненты в (9) можно считать, что $J_s \approx J_0$, что и использовано в уравнениях (5) и (8).

Пусть $w(\theta, \varphi, t)$ – толщина криогенного слоя в момент времени t . Граница Σ_2 криослой – газ задается уравнением

$$r + w - r_1 = 0.$$

Тогда баланс тепловых потоков на границе Σ_2 с учетом тепла, необходимого для сублимации, запишется как

$$\begin{aligned} \left(k_1 \frac{\partial T_s}{\partial r} + k_2 \frac{\partial T_s}{r^2 \partial \theta} \cdot \frac{\partial w}{\partial \theta} + k_3 \frac{\partial T_s}{r^2 \sin^2 \theta \partial \varphi} \cdot \frac{\partial w}{\partial \varphi} \right) \Big|_{r=r_1-w(t)} = \\ = k_g \frac{\partial T_g}{\partial r} \Big|_{r=r_1-w(t)} - \lambda_s \rho_s \frac{dw}{dt}. \end{aligned} \quad (10)$$

Здесь λ_s – удельная теплота сублимации. Кроме того, на границе Σ_2 температуры газа и топливного слоя равны

$$T_s \Big|_{r=r_1-w} = T_g \Big|_{r=r_1-w}. \quad (11)$$

Уравнение (10) определяет скорость изменения толщины w криослоя в разных его точках и, в конечном счете, нарастание разнотолщинности.

Процессы переноса массы, энергии и импульса в газе описываются значительно сложнее. Обозначим

$$\mathbf{V}(t, x, y, z) = (u(t, x, y, z), v(t, x, y, z), w(t, x, y, z))$$

вектор скорости газа в точке (x, y, z) в момент времени t . Ниже для скалярной функции $\varphi(t, x, y, z)$ под полной производной этой функции по времени понимается выражение

$$\frac{d\varphi}{dt} = \frac{\partial\varphi}{\partial t} + u\frac{\partial\varphi}{\partial x} + v\frac{\partial\varphi}{\partial y} + w\frac{\partial\varphi}{\partial z} \equiv \frac{\partial\varphi}{\partial t} + \langle \mathbf{V}, \nabla \rangle \varphi.$$

Уравнение Навье-Стокса для переноса импульса в вязком газе имеет вид (см. [5])

$$\rho_g \frac{d\mathbf{V}}{dt} = \rho_g \mathbf{F} - \text{grad}(p + \frac{2}{3}\mu \text{div}\mathbf{V}) + 2\text{Div}(\mu\dot{\mathbf{S}}). \quad (12)$$

Здесь ρ_g, p, μ – плотность, давление и коэффициент динамической вязкости газа, $\dot{\mathbf{S}}$ – тензор скоростей деформаций, \mathbf{F} – плотность распределения объемных сил.

Перенос массы в газе описывается уравнением неразрывности

$$\frac{\partial\rho_g}{\partial t} + \text{div}(\rho_g \mathbf{V}) = 0$$

Перенос энергии в газе (см. [5]) опишем уравнением

$$\rho_g \frac{d}{dt} \left(c_v T_g + \frac{V^2}{2} \right) = \rho_g \langle \mathbf{F}, \mathbf{V} \rangle + 2\text{div}(\mu \mathbf{V} \dot{\mathbf{S}}) - \text{div} \left[\left(p + \frac{2}{3}\mu \text{div}\mathbf{V} \right) \mathbf{V} \right] + \text{div} \left(\frac{k_g}{c_p} \text{grad}(c_p T_g) \right). \quad (13)$$

Здесь c_p, c_v – удельные теплоемкости газа при постоянном давлении и объеме соответственно, λ_l – удельная теплота фазового перехода из газообразного состояния в жидкое.

В начальный момент $t=0$ скорости газа во всех точках нулевые, а плотность газа константа

$$\begin{aligned} \mathbf{V}(0, x, y, z) &= 0, \\ \rho_g(0, x, y, z) &= \rho_0. \end{aligned}$$

На границе Σ_2 положим скорость газа равной нулю ($\mathbf{V} = 0$ на Σ_2).

Перенос испаряющегося газа будет осуществляться за счет диффузии, с коэффициентом диффузии D , т.е.

$$D \text{grad} \rho_g = \rho_s \frac{dw}{dt} \quad \text{на } \Sigma_2. \quad (14)$$

К перечисленным соотношениям следует добавить уравнение состояния для газа $\Psi(p, T, \rho) = 0$, например, уравнение Ван-дер-Ваальса для 1 моля неидеального газа

$$\left(p + \frac{a}{V_0^2} \right) (V_0 - b) = RT, \quad (15)$$

где $R=8.31$ дж/(моль К) – универсальная газовая постоянная. Если μ_g – масса 1 моля газа, выраженная в граммах, то из равенства $\rho = \frac{\mu_g}{V_0}$, и (15) следует соотношение

$$p = \frac{RT}{\frac{\mu_g}{\rho_g} - b} - \frac{a\rho_g^2}{\mu_g^2}. \quad (16)$$

2. Упрощающие предположения

При низких температурах коэффициент динамической вязкости $\mu = 0$. Везде ниже пренебрежем объемными силами \mathbf{F} . Тогда уравнение (12) примет вид

$$\rho_g \frac{d\mathbf{V}}{dt} = -\text{grad } p. \quad (17)$$

Оценим правую часть (17). Для этого ограничимся оценкой лишь радиальной составляющей градиента. Используя (16), получим

$$\frac{\partial p}{\partial r} = \frac{R\rho_g}{\mu_g - b\rho_g} \frac{\partial T}{\partial r} + \left[\frac{\mu_g RT}{(\mu_g - b\rho_g)^2} - \frac{2a\rho_g}{\mu_g^2} \right] \frac{\partial \rho_g}{\partial r}. \quad (18)$$

Покажем, что выражение в квадратных скобках положительно. Для этого используем известные соотношения

$$b = \frac{1}{3}V_{0c} = \frac{\mu_g}{3\rho_c}, \quad a = \frac{27}{8}RT_c b.$$

Здесь T_c, V_{0c}, ρ_c значения температуры, удельного объема и плотности газа в критической точке. Используя выражения для коэффициентов a, b , получим, что выражение в квадратных скобках положительно, если

$$T > \frac{9T_c}{4} \frac{\rho_g}{\rho_c} \left(1 - \frac{\rho_g}{3\rho_c} \right)^2. \quad (19)$$

Поскольку $T > 4,5K$, а для дейтерия $T_c \approx 33K$, и отношение плотности насыщенных паров газа при температуре ниже тройной точки к критической плотности $\frac{\rho_g}{\rho_c} < 0,05$, то неравенство (19) справедливо. Из

вышесказанного и положительности производных $\frac{\partial T}{\partial r}, \frac{\partial \rho_g}{\partial r}$ получим с помощью (18) оценку снизу для радиальной составляющей градиента

давления $\frac{\partial p}{\partial r} > \frac{R\rho_g}{\mu_g - b\rho_g} \frac{\partial T}{\partial r} = \frac{R\rho_g}{\mu_g \left(1 - \frac{\rho_g}{3\rho_c}\right)} \frac{\partial T}{\partial r} > \frac{R\rho_g}{\mu_g} \frac{\partial T}{\partial r}$. Тогда согласно

(17) для радиальной составляющей скорости V_r имеем $\left|\frac{dV_r}{dt}\right| > \frac{R}{\mu_g} \frac{\partial T}{\partial r}$. При радиусе мишени 3 мм и перепаде температур в 1 К получим оценку для ускорения $\left|\frac{dV_r}{dt}\right| > 500 \frac{M}{c^2}$. Это означает, что характерное время

перемешивания газа составляет 1 мс, т.е. газ перемешивается мгновенно. Вследствие такого интенсивного перемешивания значения температуры, давления и плотности газа устанавливаются практически мгновенно постоянными по всему внутреннему объему мишени, а $\mathbf{V} \approx 0$. Из уравнений непрерывности и (13) следует независимость от времени плотности и температуры. Формально этот факт противоречит условию (14), но здесь можно заметить, что правая часть равенства (14) мала, т.е. изменение массы газа в процессе сублимации ничтожно из-за краткости протекания самого процесса. Все сказанное позволяет считать, что температура газа в полости мишени в течение процесса доставки мишени в зону горения есть величина постоянная и равна начальной температуре

$$T_g \equiv T_i. \quad (20)$$

Из-за малости коэффициента теплопроводности оболочки k_{sh} разогрев оболочки происходит в основном вследствие поглощения ЭМИ. Поэтому уравнение (5) примет вид

$$\rho_{sh} c_{sh} \frac{dT_{sh}}{dt} = \alpha_{sh} J_{sh} \cdot (1 + \zeta(\varphi, \theta)). \quad (21)$$

Начальное условие (1) и граничное условие (3) оставляем без изменения.

Так как T_{sh} не зависит от r , то условия (2), (4) теряют смысл.

Уравнение (8) не меняется. Граничные условия (10)-(11) в силу (20) примут вид

$$T_s|_{r=r_1-w} = T_i, \quad (22)$$

$$\left(k_1 \frac{\partial T_s}{\partial r} + k_2 \frac{\partial T_s}{r^2 \partial \theta} \cdot \frac{\partial w}{\partial \theta} + k_3 \frac{\partial T_s}{r^2 \sin^2 \theta \partial \varphi} \cdot \frac{\partial w}{\partial \varphi}\right) \Big|_{r=r_1-w(t)} = -\lambda_s \rho_s \frac{dw}{dt}. \quad (23)$$

Последнее соотношение определяет изменение во времени толщины криослоя $w(\theta, \varphi, t)$ с начальным условием

$$w(\theta, \varphi, 0) = w_0. \quad (24)$$

Решение начально-краевой задачи (1), (3), (8), (21)-(24) позволяет аналитически выписать задачу Коши для функции $w(\theta, \varphi, t)$ (см. (55)).

3. Асимптотический анализ задачи

Введем безразмерные переменные

$$x = \frac{r_1 - r}{\delta r_1} = \frac{r_1 - r}{w_0}, \text{ где } \delta = \frac{w_0}{r_1}, \tau = t/t^*, \text{ где } t^* = \frac{r_1^2 c_s \rho_s}{k_s \cdot (1 + \xi_1)}.$$

Значениям $r_1, r_2 = r_1 - w_0$ будут соответствовать значения безразмерной переменной $x = 0, x = 1$.

В новых переменных наша задача запишется как

$$\rho_{sh} c_{sh}(T) \frac{dT_{sh}}{d\tau} = \alpha_{sh} J_0 \cdot (1 + \zeta) t^*, \quad (25)$$

$$T_{sh}(0) = T_i, \quad (26)$$

$$T_{sh}(t) = T_s(0, \theta, \varphi, t), \quad (27)$$

$$\begin{aligned} \delta^2 \frac{\partial T_s}{\partial \tau} = & \frac{1}{(1 - \delta x)^2} \frac{\partial}{\partial x} (1 - \delta x)^2 \frac{\partial T_s}{\partial x} + \\ & + \frac{\delta^2}{(1 + \xi_1)(1 - \delta x)^2 \sin \theta} \frac{\partial}{\partial \theta} \left((1 + \xi_2(\theta, \varphi)) \sin \theta \frac{\partial T_s}{\partial \theta} \right) + \\ & + \frac{\delta^2}{(1 + \xi_1)(1 - \delta x)^2 \sin^2 \theta} \frac{\partial}{\partial \varphi} \left((1 + \xi_3(\theta, \varphi)) \frac{\partial T_s}{\partial \varphi} \right) + \frac{\delta^2 r_1^2 \alpha_s}{k_s \cdot (1 + \xi_1)} J_0 (1 + \zeta). \end{aligned} \quad (28)$$

Пусть $\bar{w} = \frac{w(\theta, \varphi, t)}{w_0}$. Дифференциальное уравнение (23) для

изменения толщины криослоя примет вид

$$\begin{aligned} -((1 + \xi_1) \frac{\partial T_s}{\partial x} + \delta^2 \frac{1 + \xi_2}{(1 - \delta x)^2} \frac{\partial T_s}{\partial \theta} \cdot \frac{\partial \bar{w}}{\partial \theta} + \delta^2 \frac{1 + \xi_3}{(1 - \delta x)^2 \sin^2 \theta} \frac{\partial T_s}{\partial \varphi} \cdot \frac{\partial \bar{w}}{\partial \varphi}) \Big|_{x=\bar{w}} = \\ = -\delta^2 \lambda \frac{d\bar{w}}{d\tau}, \end{aligned} \quad (29)$$

где параметр $\lambda = \frac{\lambda_s \rho_s r_1^2}{k_s \cdot (1 + \xi_1) t^*}$, с начальным условием согласно (24)

$$\bar{w} = 1. \quad (30)$$

Равенство температур на границе газ – криослой запишется

$$T_s \Big|_{x=\bar{w}} = T_i. \quad (31)$$

Система уравнений (25)-(31) определяет сингулярно возмущенную задачу Стефана для параболического уравнения (28). Известно, что решение такой задачи можно искать в виде асимптотического ряда по степеням малого параметра $\delta^2 \approx 2.5 \cdot 10^{-3}$. Этот асимптотический ряд содержит регулярные и сингулярные слагаемые. Первые члены этих рядов, стоящие

при нулевых степенях параметра δ , обозначим соответственно $T^{(r)}, T^{(s)}$. В первом приближении

$$T_s = T_s^{(r)} + T_s^{(s)}. \quad (32)$$

Функция $T^{(r)}$ удовлетворяет уравнению

$$\frac{1 + \xi_1}{(1 - \delta x)^2} \frac{\partial}{\partial x} (1 - \delta x)^2 \frac{\partial T_s^{(r)}}{\partial x} + \frac{\delta^2 r_1^2 \alpha_s}{k_s} J_0(1 + \zeta) = 0. \quad (33)$$

Сингулярные члены ищем в виде

$$T_s^{(s)} = e^{-\frac{\vartheta^2 \tau}{\delta^2}} f(x, \theta, \varphi). \quad (34)$$

После подстановки в (28) и приравнивания оставшихся свободных членов получим уравнение для f

$$-\vartheta^2 f(x) = -\frac{2\delta}{(1 - \delta x)} \frac{df}{dx} + \frac{d^2 f}{dx^2}. \quad (35)$$

В уравнении (29), описывающем динамику толщины криослоя, в левой части в первом приближении отбросим слагаемые порядка δ^2 . Уравнение примет вид

$$(1 + \xi_1) \frac{\partial T_s}{\partial x} = \delta^2 \lambda \frac{d\bar{w}}{d\tau}. \quad (36)$$

Из уравнений (28), (29) следует, что для построения главных членов асимптотических рядов можно пренебречь слагаемыми, отвечающими за поперечную теплопроводность. Для анализа уравнений (25), (33), (35), (36) с соответствующими граничными и начальными условиями нам удобно вернуться к переменным r, t . Проинтегрируем уравнение (25) с начальным условием (26). Поскольку коэффициент теплоемкости $c_{sh}(T)$ почти линейно зависит от температуры, то положим

$$c_{sh}(T) = \eta_0 + \eta_1 \cdot (T - T_i). \quad \text{Здесь } \eta_0 = c_{sh}(T_i), \eta_1 = \frac{c_{sh}(T_f) - c_{sh}(T_i)}{T_f - T_i}. \quad \text{Величины}$$

T_f, T_i -конечная и начальная температура процесса нагревания мишени, например, 18 К и 4,5 К соответственно. После интегрирования получим

$$t = \frac{2\eta_1}{\beta_{sh}\eta_0} \Delta T_{sh} \left(1 + \frac{\eta_1}{2\eta_0} \Delta T_{sh}\right),$$

$$\Delta T_{sh} \equiv h(t) = \frac{\eta_0}{\eta_1} (\sqrt{1 + \beta_{sh} t} - 1). \quad (37)$$

$$\text{Здесь } \Delta T_{sh} = T - T_i, \beta_{sh} = \frac{2\eta_1 \alpha_{sh} J_0}{\eta_0^2 \rho_{sh}} (1 + \zeta).$$

В нулевом приближении уравнение (33) для регулярной составляющей запишется в виде

$$\alpha_s J_0 \cdot (1 + \zeta) + \frac{k_s (1 + \xi_1(\theta, \varphi))}{r^2} \frac{\partial}{\partial r} r^2 \frac{\partial T_s^{(r)}}{\partial r} = 0. \quad (38)$$

Из (37) следует, что температура оболочки зависит от времени по закону

$$T_{sh} = h(t) + T_i. \quad (39)$$

Из (38) получаем

$$\begin{aligned} \frac{\partial T_s^{(r)}}{\partial r} &= -\beta_s r + c_0 / r^2, \\ T_s^{(r)} &= -\beta_s r^2 / 2 - c_0 / r + c_1, \end{aligned} \quad (40)$$

где $\beta_s = \frac{\alpha_s J_0 (1 + \zeta)}{3k_s (1 + \xi_1)}$.

Из (3), (39)-(40) следует, что

$$c_1 = h(t) + T_i + \beta_s r_1^2 / 2 + c_0 / r_1.$$

Используем теперь условие (22) и выражение (40). Имеем

$$c_0 = \beta_s r_1^3 (1 - w / r_1)(1 - w / 2r_1) + r_1 (r_1 / w - 1) h(t). \quad (41)$$

Таким образом,

$$T_s^{(r)} = \beta_s (r_1^2 - r^2) + h(t) + T_i + c_0 (r_1^{-1} - r^{-1}). \quad (42)$$

Сингулярную составляющую ищем в виде

$$T_s^{(s)} = e^{-\gamma^2 t} f(r, \theta, \varphi). \quad (43)$$

Она удовлетворяет уравнению (35), которое в размерных переменных имеет вид

$$-\vartheta^2 f(r) = \frac{2}{r} \frac{df}{dr} + \frac{d^2 f}{dr^2}. \quad (44)$$

Параметр $\vartheta^2 = \gamma^2 \frac{c_s \rho_s}{k_s (1 + \xi_1(\theta, \varphi))}$.

Уравнение (44) является уравнением Эмдена-Фаулера. Его общее решение имеет вид

$$f(r) = D_0 \frac{\sin(\vartheta r + D_1)}{r}, \quad (45)$$

Здесь D_0, D_1, ϑ неизвестные функции переменных θ, φ .

Так как в первом приближении температура в криослое представляет собой сумму регулярных и сингулярных частей решения, т.е.

$$T_s = T_s^{(r)} + T_s^{(s)}, \quad (46)$$

то начальные и граничные условия для сингулярной составляющих запишем отдельно так, чтобы они были согласованы с ранее приведенными условиями для T_{sh}, T_s .

На границе $r = r_1$

$$\begin{aligned} T_s^{(s)}(r_1, \theta, \varphi, t) &= 0, \text{ или} \\ f \Big|_{r=r_1} &= 0. \end{aligned} \quad (47)$$

На внутренней границе $r = r_1 - w_0$ в начальный момент

$$\begin{aligned} T_s^{(s)}(r_0 - w_0, \theta, \varphi, 0) &= 0, \text{ или} \\ f \Big|_{r=r_1-w_0} &= 0. \end{aligned} \quad (48)$$

Будем рассматривать задачу (44), (47), (48) как задачу на собственные значения дифференциального оператора $\frac{2}{r} \frac{df}{dr} + \frac{d^2 f}{dr^2}$. Из (45) и условий (47), (48) для нетривиальных решений получаем набор собственных значений и ортогональных собственных функций

$$\vartheta_n = \pi n / w_0, \quad n = 1, 2, \dots,$$

$$f_n(r) = \frac{\sin \left[\pi n \frac{r_1 - r}{w_0} \right]}{r}.$$

Общее решение уравнения (44) имеет вид ряда

$$f(r, \theta, \varphi) = \sum_{n=1}^{\infty} C_n e^{-\gamma_n^2} f_n,$$

в котором мы ограничимся лишь первым слагаемым

$$f = D_0 \frac{\sin \left[\pi \frac{r_1 - r}{w_0} \right]}{r}. \quad (49)$$

Причем

$$\gamma^2 = \frac{\pi^2 k_s (1 + \xi_1(\theta, \varphi))}{w_0^2 c_s \rho_s}. \quad (50)$$

Поскольку согласно (46) в начальный момент $T_s = T_i = (T_s^{(r)} + T_s^{(s)})|_{t=0}$, то коэффициент D_0 в (49) ищем стандартным способом, как коэффициент Фурье-разложения функции невязки начального распределения температур $T_i - T_s^{(r)}(r, \theta, \varphi, 0)$ по собственным функциям дифференциального оператора (44). Именно

$$D_0 = \int_{r_1-w_0}^{r_1} (T_i - T_s^{(r)}(r, \theta, \varphi, 0)) \frac{\sin \left[\pi \frac{r_1 - r}{w_0} \right]}{r} dr / \int_{r_1-w_0}^{r_1} \frac{\sin^2 \left[\pi \frac{r_1 - r}{w_0} \right]}{r^2} dr. \quad (51)$$

Значение

$$D_0 \approx -12\beta_s w_0^2 r_1 / \pi^3. \quad (52)$$

Действительно,

$$\begin{aligned} \int_{r_1-w_0}^{r_1} \frac{\sin^2 \left[\pi \frac{r_1 - r}{w_0} \right]}{r^2} dr &= \int_0^1 \frac{\sin^2(\pi s) w_0 ds}{r_1^2 (1 - (1-s)w_0/r_1)} \approx \\ &\approx \int_0^1 \frac{(1 - \cos(2\pi s)) w_0 ds}{2r_1^2} \approx \frac{w_0}{2r_1^2}, \end{aligned} \quad (53)$$

здесь $s = 1 + (r - r_1)/w_0$. Далее, при $t=0$, в формулах (41),(42) нужно положить $h = 0, w = w_0$. Из них следует, что

$$\begin{aligned} T_s^{(r)} \Big|_{t=0} - T_i &= \beta_s (r_1^2 - r^2) + c_0 (r_1^{-1} - r^{-1}) = \beta_s \frac{r_1 - r}{2} [r_1 + r - (2r_1 - w_0)(r_1 - w_0)/r] = \\ &= \frac{z r_1^2 \beta_s}{2(1-z)} (\delta - z)(3 - z - \delta). \end{aligned}$$

Здесь, как и ранее, $\delta = \frac{w_0}{r_1}$, $z = \frac{r_1 - r}{r_1}$, $z \in [0, \delta]$. Считая величину δ малой,

получим $T_s^{(r)} \Big|_{t=0} - T_i \approx \frac{3z r_1^2 \beta_s}{2} (\delta - z)$. Учитывая соотношение $z = (1-s)\delta$,

интеграл, стоящий в числителе формулы (51), можно представить в виде

$$I = \int_{r_1-w_0}^{r_1} (T_i - T_s^{(r)}(r, \theta, \varphi, 0)) \frac{\sin \left[\pi \frac{r_1 - r}{w_0} \right]}{r} dr = -\frac{3\beta_s w_0^3}{2r_1} \int_0^1 \frac{s(1-s) \sin(\pi s) ds}{1 - (1-s)\delta}.$$

Чтобы оценить последний интеграл, заменим знаменатель подинтегрального выражения единицей и перейдем к переменной $u = 1/2 - s$. Тогда

$$\begin{aligned} \int_0^1 \frac{s(1-s) \sin(\pi s) ds}{1 - (1-s)\delta} &\approx I_0 = \int_0^1 s(1-s) \sin(\pi s) ds = \int_{-1/2}^{1/2} (1/4 - u^2) \cos(\pi u) du = \\ &= 2 \int_0^{1/2} (1/4 - u^2) \cos(\pi u) du = 1/(2\pi) - 2I_1, \quad \text{где} \quad I_1 = 1/(4\pi) - 2/\pi^3. \end{aligned}$$

Следовательно, $I_0 = 4/\pi^3$, а $I = -\frac{6\beta_s w_0^3}{\pi^3 r_1}$. Отсюда и из (53) получаем (52).

Из сказанного следует, что

$$T_s^{(s)} = -12\beta_s w_0^2 r_1 / \pi^3 \frac{\sin\left[\pi \frac{r_1 - r}{w_0}\right]}{r} e^{-\gamma^2 t}. \quad (54)$$

Граничное условие (36) в переменных r, t запишется в виде обыкновенного дифференциального уравнения

$$(1 + \xi_1) k_1 \frac{\partial T_s}{\partial r} \Big|_{r=r_1-w(t)} = -\lambda_s \rho_s \frac{dw}{dt}.$$

Отсюда, используя (46) и выражения (42), (54), получим

$$\begin{aligned} \frac{dw}{dt} = & -\gamma_0(\theta, \varphi) \frac{r_1(\sqrt{1 + \beta_{sh} t} - 1)}{w(r_1 - w)} - \gamma_1 w \frac{r_1}{r_1 - w} + \\ & + \gamma_2 \frac{w^2}{r_1^2(r_1 - w)} + \frac{\gamma_3 e^{-\gamma^2 t}}{r_1 - w} \left\{ \cos(\pi w / w_0) + \frac{w_0 \sin(\pi w / w_0)}{\pi(r_1 - w)} \right\} \end{aligned} \quad (55)$$

с начальным условием $w|_{t=0} = w_0$.

Здесь $\gamma_0 = \frac{k_s(1 + \xi_1(\theta, \varphi)) \eta_0}{\lambda_s \rho_s \eta_1}$, $\gamma_1 = \frac{\alpha_s J_0}{2\lambda_s \rho_s} (1 + \zeta(\theta, \varphi))$, $\gamma_2 = \frac{2}{3} r_1^2 \gamma_1$,

$$\gamma_3 = \frac{\pi}{\lambda_s \rho_s w_0} D_0 k_s \cdot (1 + \xi_1) = -\frac{4\alpha_s w_0 r_1 J_0}{\pi^2 \lambda_s \rho_s} (1 + \zeta(\theta, \varphi)), \quad \gamma^2 = \frac{k_s \cdot (1 + \xi_1(\theta, \varphi)) \pi^2}{c_s \rho_s w_0^2},$$

$J_0 = \sigma T_0^4 = 56.6 \text{ вт/см}^2$ при $T_0 = 1773 \text{ К}$.

Зададим для двух различных пар угловых координат (θ_1, φ_1) , (θ_2, φ_2) значения ξ_1 и ζ . Интегрируя два раза уравнение с различными значениями ξ_1 и ζ , можно получить функцию нарастания разнотолщинности

$$\Delta w(t) = |w(t, \theta_1, \varphi_1) - w(t, \theta_2, \varphi_2)|.$$

Момент, когда разнотолщинность превысит допустимое значение $\Delta w(t) \geq \varepsilon$, можно считать временем деградации $t_d(j_{sh}, j_s, \Delta \xi_1, \Delta \zeta)$ геометрических свойств топливного слоя мишени. Здесь параметры $\Delta \xi_1 = \xi_1(\theta_1, \varphi_1) - \xi_1(\theta_2, \varphi_2)$, $\Delta \zeta = \zeta(\theta_1, \varphi_1) - \zeta(\theta_2, \varphi_2)$, а j_{sh}, j_s – поглощенные потоки ЭМИ в оболочке и криослое соответственно. Последние равны $j_{sh} = \alpha_{sh} w_{sh} J_{sh}$, $j_s \approx \alpha_s w_0 J_s$.

Следует отметить, что для дейтерия коэффициент поглощения α_s очень мал. Положив его равным нулю, мы предельно упростим уравнение (55), т.к. коэффициенты $\gamma_1 = \gamma_2 = \gamma_3 = 0$. Тогда для безразмерной толщины

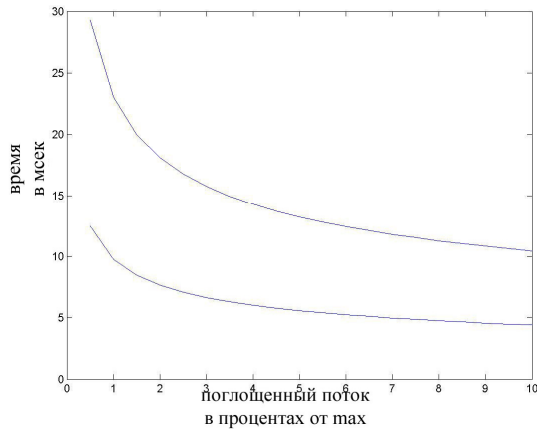
слоя $\bar{w} = w/w_0$ с учетом оценки $1 - \delta\bar{w} \approx 1$ решение уравнения (55), которое теперь примет вид

$$\frac{d\bar{w}(t, \theta, \varphi)}{dt} = -\gamma_0(\theta, \varphi) \frac{(\sqrt{1 + \beta_{sh}(\theta, \varphi)t} - 1)}{w_0^2 \bar{w}}, \quad (56)$$

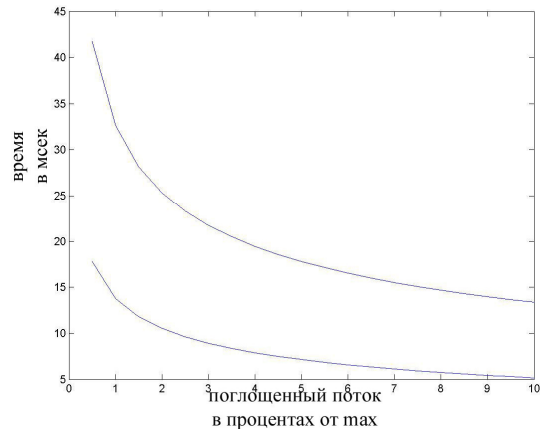
можно записать в квадратурах

$$\bar{w}(t, \theta, \varphi) = \sqrt{1 - a_0(\theta, \varphi) \left\{ \frac{2}{3\beta_{sh}(\theta, \varphi)} \left[(1 + \beta_{sh}(\theta, \varphi) \cdot t)^{1,5} - 1 \right] - t \right\}}, \quad (57)$$

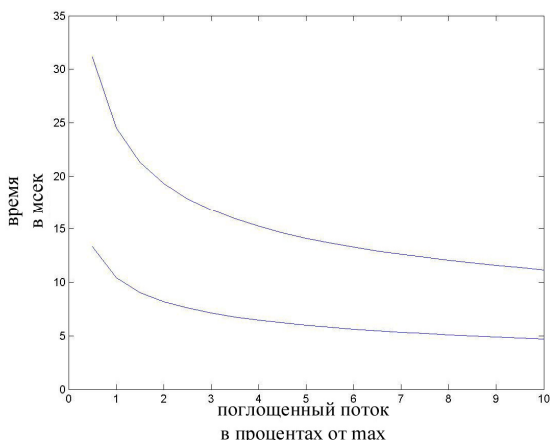
где $a_0 = \frac{2\gamma_0}{w_0^2}$. Из (56) непосредственно следует, что $\bar{w}(t, \theta, \varphi)$ монотонно убывающая функция времени. При этом коэффициент $\beta_{sh}(\theta, \varphi)$ ответственен за сферическую асимметрию ЭМИ, а $a_0(\theta, \varphi)$ – за асимметрию коэффициента теплопроводности топливного слоя.



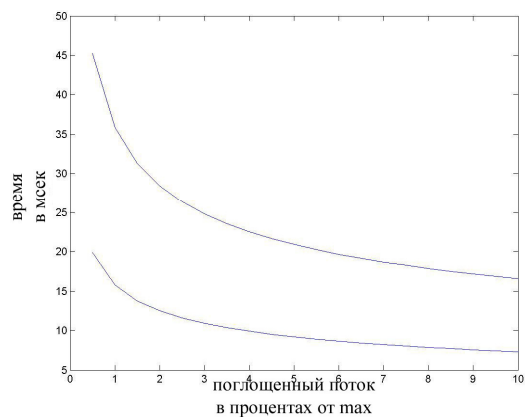
а)



б)



в)



г)

Рис.2. Зависимость времени деградации от поглощенного потока

На рис. 2а приведены графики зависимости $t_d(j_{sh}, j_s, 0.1, 0)$. Верхняя кривая соответствует разнотолщинности $\varepsilon=2$ мкм, а нижняя – $\varepsilon=0,5$ мкм. На рис. 2б приведены зависимости $t_d(j_{sh}, j_s, 0, 0.1)$. При этом в обоих случаях вычисления велись по формуле (55). На рис. 2в-2г приведены аналогичные кривые, но уже вычисления были проведены по формуле (57), когда поглощение в топливном слое отсутствует.

В проведённых расчётах величина j_{sh} менялась от 0,5% до 10% от падающего потока в 56.6 Вт/кв.см, а $j_s=0,1 j_{sh}$, начальная $T=4.2$ К, толщина оболочки 45 мкм, радиус мишени 2 мм, толщина криослоя 200 мкм. Можно заметить, что коэффициент поглощения в криослое почти не сказывается на времени деградации в случае асимметричного коэффициента теплопроводности (рис.2а,в), но оказывает некоторое влияние на результат в случае асимметричного потока (рис.2б,г).

Литература

1. Белолипецкий А.А. Об одной сингулярно возмущенной задаче Стефана, описывающей разрушение топливного слоя в лазерной мишени. // Вестн. Моск. ун-та. Сер. 15. вычисл. матем. и киберн. 2008. №1. с.10-18.
2. Белолипецкий А.А. О математическом моделировании сложных физических систем. // Сб. трудов 2-й Всероссийской научной конференции «Математическое моделирование развивающейся экономики», ЭКОМОД-2007, г. Киров, 9-15 июля 2007 г. с. 37-48.
3. Александрова И.В., Белолипецкий А.А., Корешева Е.Р. и др. К решению проблемы сохранения параметров криогенной мишени в процессе ее доставки в зону термоядерного горения. // Вопросы атомной науки и техники, вып. 3, 2007, с. 27 – 47.
4. Зигель Р., Хауэлл Дж. Теплообмен излучением. // М., Мир. 1975, 934 с.
5. Лойцянский Л.Г. Механика жидкости и газа. // М., «Наука», Главная редакция физ.-мат. литературы, 1970, 904 с.